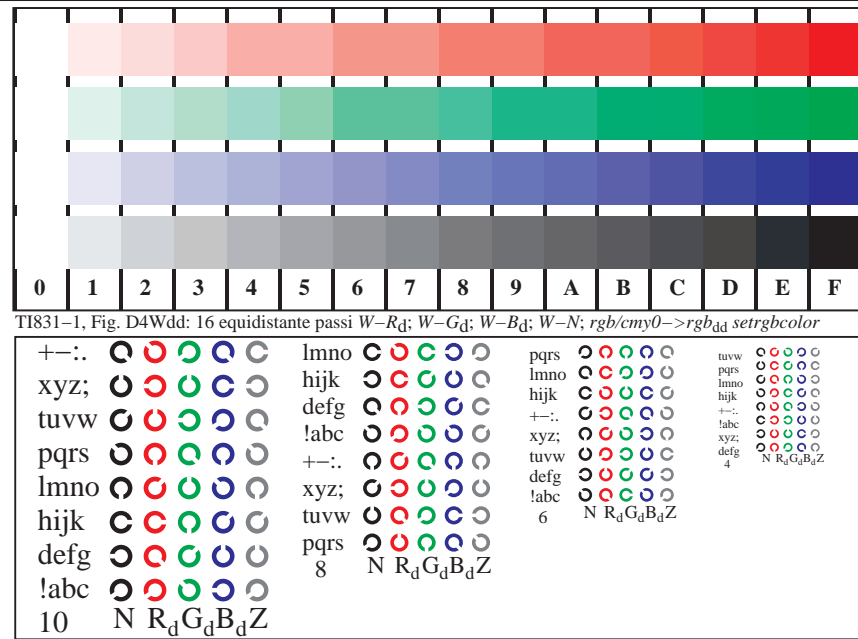




vedi file simili: <http://farbe.li.tu-berlin.de/TI83/TI83L0FP.PDF>
informazioni tecniche: <http://www.ps.bam.de> o <http://130.149.60.45/~farbm>

V L O Y M C
http://farbe.li.tu-berlin.de/TI83/TI83L0FP.PDF/.PS; linearizzazione 3D
F: linearizzazione 3D TI83/TI83LI30FP.DAT nel file (F), pagine 2/2

TI831-1, Fig. D4Wdd: 16 equidistante passi $W-R_d$; $W-G_d$; $W-B_d$; $W-N$; $rgb/cmy0 \rightarrow rgb_{dd}$ setrgbcolor

TI830-3, Fig. D1Wdd: motivo floreale, 14 prova colori CIE i 2 + 16 grigio passi (sf); PS 4 colorimage

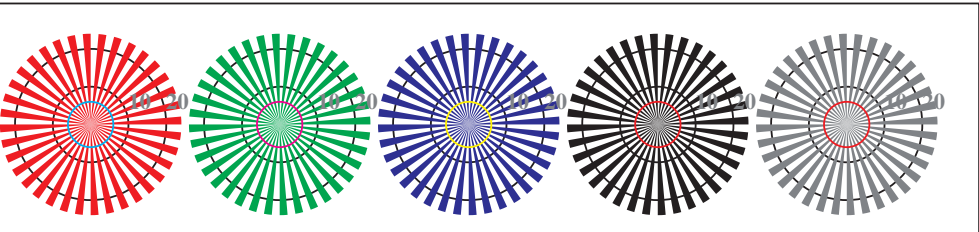
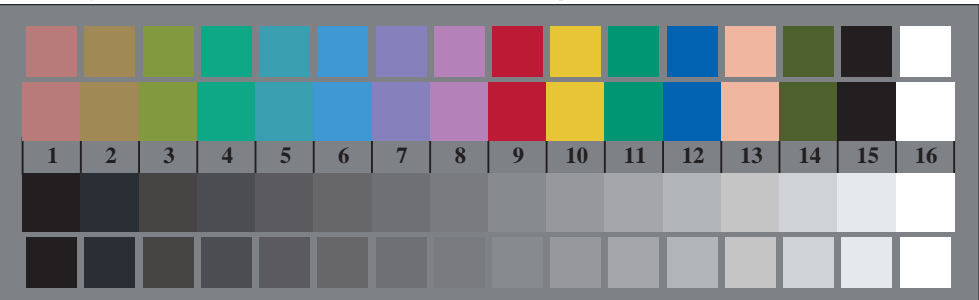
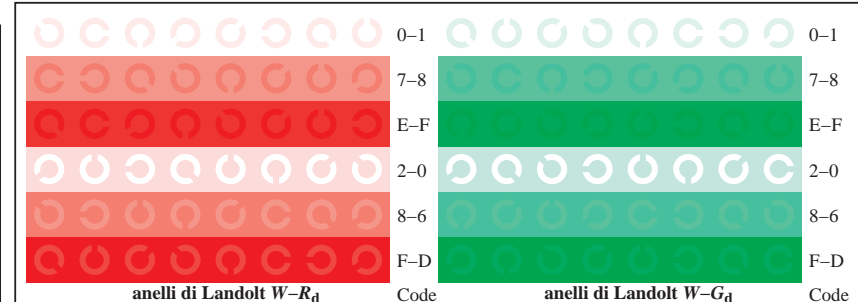
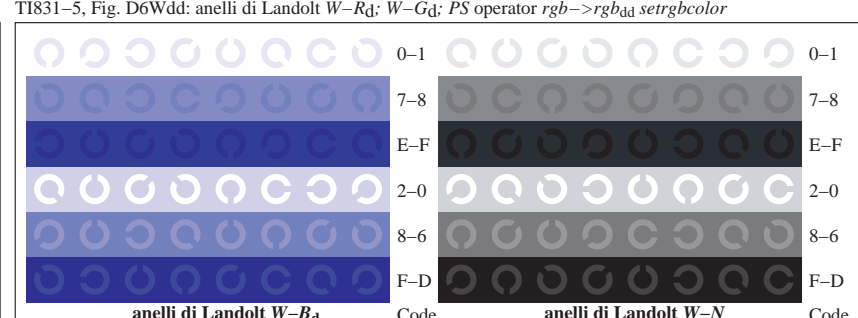
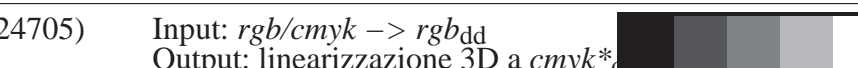
reticolli radiali $W-R_d$ reticolli radiali $W-G_d$ reticolli radiali $W-B_d$ reticolli radiali $W-N$ reticolli radiali $W-Z$ TI830-5, Fig. D2Wdd: reticolli radiali $W-R_d$; $W-G_d$; $W-B_d$; $W-N$; PS operator $rgb \rightarrow rgb_{dd}$ setrgbcolorTI830-7, Fig. D3Wdd: 14 prova colori CIE i 2 + 16 grigio passi (sf); $rgb/cmy0 \rightarrow rgb_{dd}$ setrgbcolor

Grafico TUB-TI83; 4(ISO/IEC 15775 & ISO/IEC TR 24705)
Tavola dei colori cromatici RGB, 3D=1, de=0, cmyk*

TI831-3, Fig. D5Wdd: codice i Landolt anelli N ; R_d ; G_d ; B_d ; Z ; PS operator $rgb \rightarrow rgb_{dd}$ setrgbcolorTI831-5, Fig. D6Wdd: anelli di Landolt $W-R_d$; $W-G_d$; PS operator $rgb \rightarrow rgb_{dd}$ setrgbcolorTI831-7, Fig. D7Wdd: anelli di Landolt $W-B_d$; $W-N$; PS operator $rgb \rightarrow rgb_{dd}$ setrgbcolor

Input: $rgb/cmyk \rightarrow rgb_{dd}$
Output: linearizzazione 3D a $cmyk^*$